

愛媛大学大学院 学生会員 ○森岡 享一
 愛媛大学工学部 正会員 室 達朗
 滋賀県 阿加井 健史

1. まえがき 車輪式車両と比べ履帶式車両の旋回には大きな抵抗が伴い、そのため駆動力は直進時の2~3倍必要と言われている。従って、スクレーパなどを牽引しながら旋回する場合などにおいては、牽引力に旋回抵抗が加算され、さらに大きな駆動力が必要とされる。本研究は、履帶式車両の最適な旋回方法を検討するために、地盤-履帶系定数¹⁾を入力情報とした履帶式車両旋回時のシミュレーション解析方法を提案するものである。

2. 供試地盤及び履帶モデル 供試地盤は気乾燥状態の海砂(含水比0.38%, 密度1.52g/cm³)を鋼製パネル板からなる実験土槽(450cm×450cm×60cm)に深さ50cm充填したものを使用した。履帶モデルは、図.1に示すような寸法で、T型の鋼製グラウサを7個装備している。

3. 実験装置及び方法 地盤-履帶系定数を求めるために、実験土槽内において接地圧pを0.070~0.152kgf/cm²の間で6段階に変化させた履帶モデル牽引・載荷実験¹⁾を行った。牽引抵抗を履帶面積で除したせん断抵抗τ(kgf/cm²)、牽引距離js(cm)、滑り沈下量S_s(cm)、静的沈下量S_o(cm)を測定し、それぞれ次式¹⁾で回帰を行い、地盤-履帶系定数m_c, m_f, a, c₀, c₁, c₂, k, nを決定した。

$$\tau = (m_c + p \cdot m_f) \{1 - e \exp(-a \cdot j_s)\} \quad (1)$$

$$S_s = c_0 \cdot p^{c_1} \cdot j_s^{c_2} \quad (2)$$

$$p = k \cdot S_o \quad (3)$$

牽引実験において牽引方向は、縦方向と横方向の2通り行った。

その結果得られた地盤-履帶系定数を表.1に示す。結果として、縦方向に比べ横方向の牽引は、大きな滑り沈下量が発生することがわかった。

4. シミュレーション解析方法と結果 旋回時のシミュレーション解析は、既にその妥当性が実証されている直進時のシミュレーション解析¹⁾と、地盤-履帶系定数を入力情報として、今回別途製作した履帶式模型車両(車重381.2kgf)が内側履帶をロックさせた状態で旋回する場合に対して行った。解析方法は、過去の研究²⁾によるものに、接地圧に関して以下のような改良を加えた。

旋回時には、縦方向のスリップによる沈下量に加えて横方向のスリップによる沈下が加わるが、ロックした内側履帶の方が横方向の影響を大きく受ける。横方向は縦方向よりも大きな滑り沈下特性を持つので、車両は外側履帶より内側履帶の方が沈下し、内側に傾く。このことによる接地圧の再配分を考える。図.2-(a)のように車両重量:W、履帶間長:C、重心高さ:h_gの車両を考える。この場合の外・内側履帶の接地圧は、外・内側履帶が受ける全荷重をP_o, P_iとすると、P_o/A, P_i/A(ここでAは片側履帶の接地面積)である。次に、この車両が旋回することにより、図.2-(b)のように横方向の車両傾斜角θ_{lat}が生じたとする。このときの外・内側履帶に垂直な接地圧p_{o'}, p_{i'}を考えると、I点回りのモーメントの釣り合いより、外側履帶にかかる全荷重P_{o'}は、

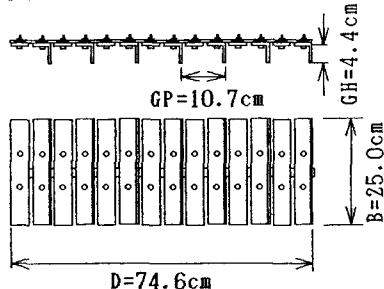


図.1 履帶モデル

k	縦方向		横方向
		9.92 × 10 ⁻⁸	
n		9.11	
C ₀	8.32	1.40	
C ₁	1.41	0.51	
C ₂	0.49	0.69	
m _c	0	0	
m _f	0.91	0.80	
a	1.16	0.24	

表.1 地盤-履帶系定数

$$W \sin \theta_{lat} \cdot h_g - W \cos \theta_{lat} \cdot \frac{C}{2} + P_o' \cdot C = 0$$

$$\therefore P_o' = \frac{W}{2} \left(\cos \theta_{lat} - \frac{2 \sin \theta_{lat} h_g}{C} \right) \quad (4)$$

従って、ある縦方向スリップ率における直進時のシミュレーションによる履帶先端から x だけ離れた地点での接地圧分布を $p(x)$ とすると、旋回時における同じ地点での接地圧は、外側履帶については、

$$P_o'(x) = p(x) \left(\cos \theta_{lat} - \frac{2 \sin \theta_{lat} h_g}{C} \right) \quad (5)$$

となる。従って履帶接地長を D とすると、外側履帶の旋回抵抗モーメントは次式のように算定できる。また、内側履帶についても同様に算定できる。

$$M_o = B \int_0^D \tau_o(x) \left| x - \frac{D}{2} \right| dx$$

$$= B \int_0^D (m_c + m_f \cdot p_o'(x)) \{1 - \exp(-a \cdot j_o(x))\} \left| x - \frac{D}{2} \right| dx \quad (6)$$

図.3に車両の内・外側の前・後輪沈下量 S_{f-in} , S_{f-out} , S_{r-in} , S_{r-out} と外側履帶のスリップ率 i_o の関係を示す。車両は、横方向には、内側履帶の方が大きな沈下特性を持つ横方向滑り沈下の影響を受けるため内側に傾き、縦方向には後方に傾く。またその値は、 i_o の増加とともに増加する。図.4に直進・旋回時の有効牽引力 T_4 、直進時の駆動力 T_1 とスリップ率 i の関係を示す。旋回時の T_4 は直進時に比べ、旋回抵抗により、約 $1/2$ に減少している。また、同図において約 200kgf の T_4 を発揮するには直進時には $i=2\%$ でよいが、旋回時には $i=20\%$ 必要であることがわかる。すなわち 200kgf の牽引力を発揮しながら直進から旋回に移るためには、 i の増加が必要である。これらの結果を模型車両走行実験と比較すると、多少値は大きくなっているが、同様の傾向を示す。

5.まとめ 履帶式車両旋回時には内側履帶後端が最も沈下し、直進から旋回に移る場合は、旋回抵抗に打ち勝つためにスリップ率の増加が要求されることがわかった。また、今回提案したシミュレーション解析法による計算値は、実験値と同様の傾向を示すことがわかった。

参考文献 1) 室達朗著: テラメカニクス - 走行力学 -, 技報堂出版, pp. 133-234, 1993

2) 室達朗・森岡享一・深川良一・河原莊一郎: まさ土地盤におけるブルドーザのターナビリティ, 第

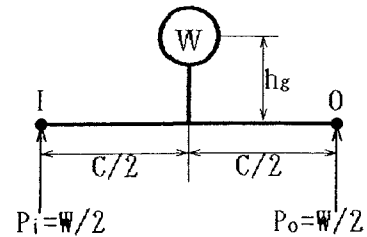


図.2-(a)

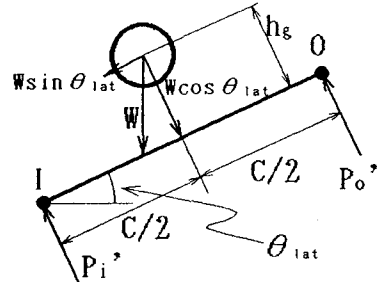
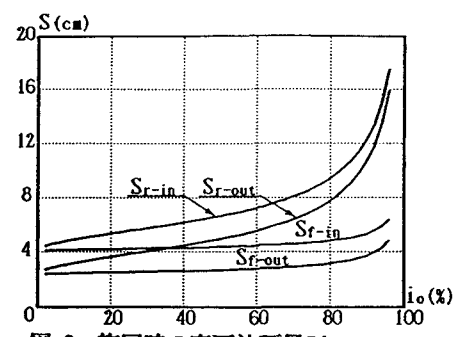
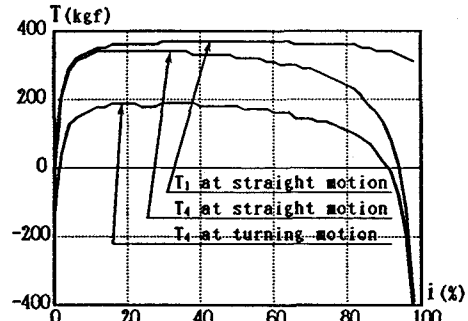


図.2-(b)

図.2 旋回時の内・外側履帶の地盤反力

図.3 旋回時の車両沈下量Sとスリップ率*i*の関係図.4 直進・旋回時の駆動力 T_1 とスリップ率 i の関係